



PLN-PCA à la sauce bayésienne du faible rang. All you need is a SVD prior! (Battacharya & Dunson's prior)

Eric Parent, Pierre Gloaguen, Achille Thin

Rochebrune, Stats aux sommets, Mars 2024

## Outline 1/2

- ▶ Réduire la dimension: intérêt des “features latents,” grande dimension, parcimonie et “explicabilité.” Bensecri vs Deheuvels.
  - En version classique, on procède souvent en deux temps.
    - ▶  $(X, Y) \rightarrow F$  (analyse descriptive par extraction des PCA) puis
    - ▶  $Y_{new} = g(F, X_{new})$  (étude fonctionnelle) La géométrie projective casse l’incertitude, qui revient dans l’art de l’interprétation ( $\pm$  poétique) des composantes principales.
  - En bayésien hiérarchique notamment, on veut simplement un “module” qui prenant  $X, Y$  en entrée donne  $[F|Y, X]$  avec certaines propriétés probabilistes. D’où le rôle d’un a priori structurant  $[F]$ .
- ▶ Hypothèses et Modèle
  - La géométrie SVD
  - Le modèle *probabiliste* d’Analyse en Composantes Principales
  - Bhattacharya & Dunson’s Gamma Process as a *shrinking* prior et vive la conjugaison Gamma Normale!

{Le slide précédent montrait les approximations de rang 1, 2, 4, 8, 16, 32, 64, 128 puis full rank de l’image du buste d’Antinoüs Mondragone, villa Mondragone à Frascati (Wikipedia, Sharayanan)}

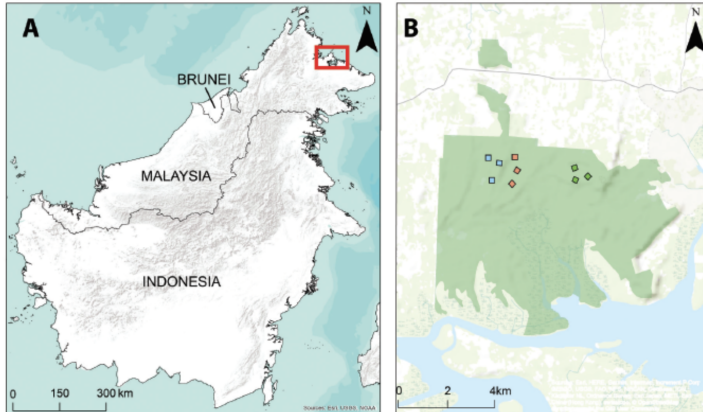
## Outline 2/2 qu'on ne fera pas

- ▶ Extensions théoriques immédiates
  - LEGO bricks : Gibbs, Inference Variationnelle, GLM
  - Hoffman & Blei: Coordinate Ascent VI pour l'optimisation du gradient
  - Réseaux de neurones
- ▶ Applications
  - Ovaskainen et al : MCMC for Joint Species Distribution Modelling
  - Codes publicly available on [https://github.com/papayoun/VI\\_fo\\_Poisson\\_PCA](https://github.com/papayoun/VI_fo_Poisson_PCA)
- ▶ Conclusions : Et Bayes ?



# Historique : Mon stage auprès du Pr. Gloaguen

Un jeu de données “R for data science” pour tous les élèves de l’agro . . .



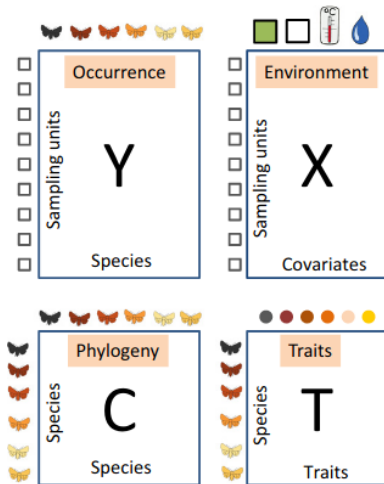
**Figure 1** Study sites: (A) the island of Borneo with the approximate position of the Kabilí-Sepilok Forest Reserve in Sabah, Malaysia highlighted in red; (B) the nine study plots within the KSFR (dark green); blue squares represent the sandstone plots, red squares represent the alluvial plots and green squares represent the heath forest plots

Figure 1: Lieu de récolte des données, d’après (Sellan 2021)

## Historique : Bornéo



## Historique : Ovaskainen et le package Hmsc.



## Historique : Joint Species Modelling (Ovaskainen) grâce à Hmsc

$$Y_{n \times p} \sim \mathcal{P}(e^Z)$$

$n$  sites et  $p$  espèces.

$$Z_i \sim \mathcal{N}(X_i \beta, \Sigma)$$

$1 \times m$   $m \times p$   $p \times p$

$m$  variables environnementales

$$\beta_{m \times p} \sim \mathcal{N}(\Gamma \begin{matrix} T \\ ' \end{matrix}, \rho C + (1 - \rho)I)$$

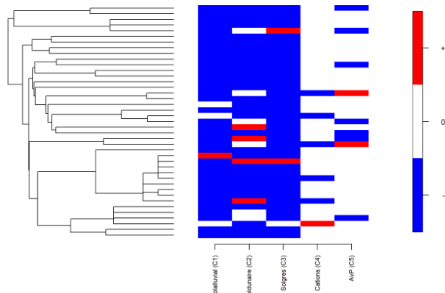
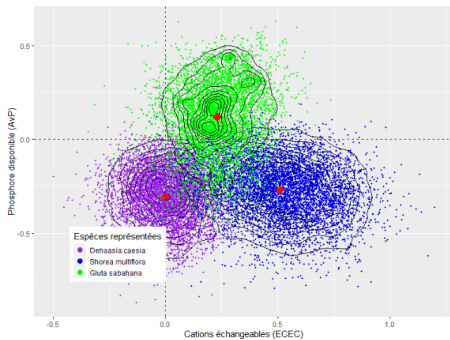
$(m \times t)$   $(t \times p)$   $p \times p$

$t$  traits généraux de l'espèce

### ► Priors

- sur  $\Gamma, \rho$
- sur  $\Sigma$

# Moments d'ordre un (Hmsc)



## Décomposition en valeurs singulières (SVD)

- ▶ On veut étudier la structure d'une base de données massives, un tableau  $\mathbf{M}$  ( $n$  individus  $\times p$  variables). Par exemple, en écologie, les individus seraient des unités de recueil de données  $i = 1 : n$  et les variables les espèces d'intérêt  $j = 1 : p$  dont on mesure une caractéristique  $M_{i,j}$ .

- ▶ Théorème:

$$\mathbf{M} = \mathbf{U} \mathbf{D} \mathbf{V}'$$

$n \times p$        $(n \times n)(n \times p)(p \times p)$

- $\mathbf{U}$  matrice unitaire (rotation)  $n \times n$ ,
- $\mathbf{D}$  une matrice  $n \times p$  dont les coefficients diagonaux sont des réels positifs ou nuls
- $\mathbf{V}'$  transposée de  $\mathbf{V}$ , matrice unitaire  $p \times p$ .

## Décomposition en valeurs singulières (SVD)

► Principe de la démo:

- Trouver un premier jeu de deux vecteurs  $u$  et  $v$  tels que  $u$  est  $1 \times n$

$$\max u' M v - \frac{\sigma_u}{2} u' u - \frac{\sigma_v}{2} v' v$$

La maximisation donne  $M' u = \sigma_v v$  et  $M v = \sigma_u u$  soit

$$M M' u = \sigma_u \sigma_v u$$

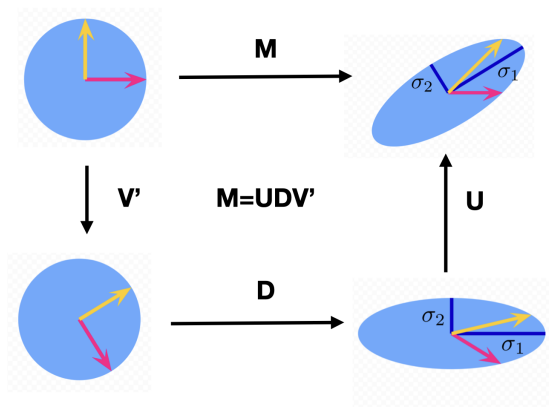
$$M' M v = \sigma_u \sigma_v v$$

$u$  est vecteur propre de  $M M'$ ,  $v$  est vecteur propre de  $M M'$ , on montre aussi  $\sigma_u = \sigma_v = \sigma$ .

- Comme pour l'ACP, on cherche ensuite deux vecteurs unitaires orthogonaux aux premiers obtenus maximisant  $u' M v$ , etc., et on range les valeurs propres par ordre de magnitude décroissante. On construit ainsi les "rotations"  $U$  et  $V$  d'où

$$M = \begin{matrix} U & D & V' \\ n \times p & (n \times n)(n \times p)(p \times p) \end{matrix}$$

## Interprétation géométrique de la SVD



Pour toute application linéaire de  $\mathbb{R}^p \rightarrow \mathbb{R}^n$ , on peut trouver une base orthonormale pour  $\mathbb{R}^p$  et une base orthonormale pour  $\mathbb{R}^n$  telles que l'on associe au  $i$ -ème vecteur de base de  $\mathbb{R}^p$  un multiple positif du  $i$ -ème vecteur de base de  $\mathbb{R}^n$ , les vecteurs restants ayant pour image 0. Dans ces bases, l'application est donc ainsi représentée par une matrice diagonale dont les coefficients sont des réels positifs.

## SVD : un exemple par simulation

```
p <- 20; k <- 2; n <- 15
Etroit <- matrix(runif(n*k), nrow = n, ncol = k)
Long <- matrix(runif(p*k), nrow = p, ncol = k)
residus = matrix(rnorm(n*p,0,0.01), nrow = n, ncol = p)
M <- Etroit%*%t(Long)+residus; svdM = svd(M); str(svdM)
```

List of 3

```
$ d: num [1:15] 9.0142 1.4724 0.0735 0.0668 0.0637 ...
$ u: num [1:15, 1:15] -0.103 -0.261 -0.118 -0.142 -0.193 ...
$ v: num [1:20, 1:15] -0.285 -0.267 -0.224 -0.372 -0.154 ...
```

```
print(sum(abs(M-svdM$u%*%diag(svdM$d)%*%t(svdM$v))^2))
```

```
[1] 1.409471e-28
```

```
diag(t(svdM$u)%*%svdM$u)
```

```
[1] 1 1 1 1 1 1 1 1 1 1 1 1 1 1 1 1
```

```
diag(t(svdM$v)%*%svdM$v)
```

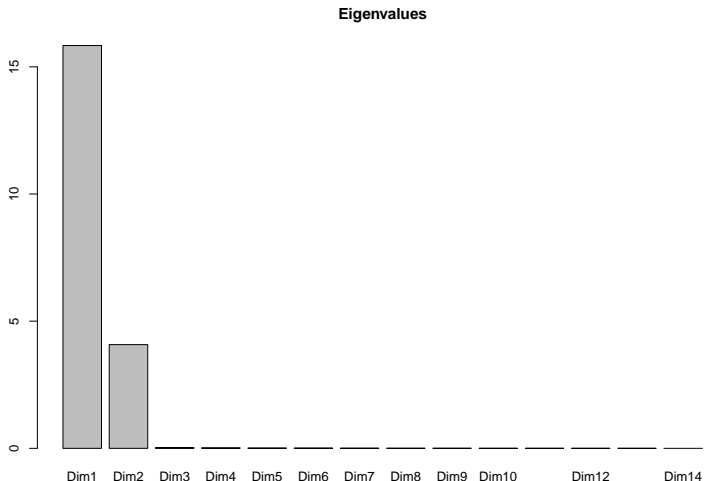
```
[1] 1 1 1 1 1 1 1 1 1 1 1 1 1 1 1 1
```

```
print((eigen(svdM$v%*%t(svdM$v), only.values = TRUE))$values[1:min(30,m
```

```
[1] 1.0e+00 1.0e+00
[13] 1.0e+00 1.0e+00 1.0e+00 3.7e-16 8.5e-18 -1.1e-16 -1.4e-16 -4.7e-16
```

## SVD : un exemple par simulation

```
library(FactoMineR)
res.pca <- PCA(M, graph=FALSE)
barplot(res.pca$eig[,1], main = "Eigenvalues",
        names.arg = paste("Dim", 1:nrow(res.pca$eig), sep = ""))
```



## Vers une ACP probabiliste

- ▶ Imaginons la structure d'une base de données massives  $\mathbf{Y}$ ,  $n$  individus  $\times p$  variables). D'abord si variables explicatives d'environnement  $X$ , l'effet fixe  $\beta$ .
- ▶ Création d'un Modèle Normal Multivarié  
Inspirons nous de la SVD du tableau  $Y - X\beta$  pour écrire, avec  $k$  *quelconque* (même si bien sûr, dans un objectif de réduction de dimension on choisira  $k \leq \min(p, n)$ ):

$$Y - X\beta \underset{(n \times p)}{\approx} \underset{(n \times k)}{U} \underset{(k \times k)}{\text{diag}(d_k^2)} \underset{(k \times p)}{V} + \underset{n \times p}{\epsilon}$$

soit, pour la ligne  $i$  de  $Y$ :

$$Y_i \approx X_i \beta + \begin{bmatrix} u_i^1 & u_i^2 & \dots & u_i^k \end{bmatrix} \begin{bmatrix} d_1^2 & 0 & \dots & 0 \\ 0 & \ddots & \vdots & \\ \vdots & 0 & \ddots & 0 \\ 0 & 0 & \dots & d_k^2 \end{bmatrix} \begin{bmatrix} v_1^1 & v_1^2 & \dots & v_1^p \\ \vdots & \vdots & \vdots & \vdots \\ v_k^1 & v_k^2 & \dots & v_k^p \end{bmatrix} + \epsilon_i$$

$$Y_i \approx X_i \beta + \begin{bmatrix} u_i^1 & u_i^2 & \dots & u_i^k \end{bmatrix} \begin{bmatrix} d_1^2 \times (v_1^1 & v_1^2 & \dots & v_1^p) \\ \vdots & \vdots & \vdots & \vdots \\ d_k^2 \times (v_k^1 & v_k^2 & \dots & v_k^p) \end{bmatrix} + \epsilon_i$$

## Construction du modèle PPCA

$$Y_i \approx X_i \beta + \begin{bmatrix} u_i^1 & u_i^2 & \dots & u_i^k \end{bmatrix} \begin{bmatrix} d_1^2 \times (v_1^1 & v_1^2 & \dots & v_1^p) \\ \vdots & \vdots & \vdots & \vdots \\ d_k^2 \times (v_k^1 & v_k^2 & \dots & v_k^p) \end{bmatrix} + \epsilon_i$$

Quittons la géométrie pour introduire des variables aléatoires, celà sera plus joliment statistique. Pour une expérience de mesure  $i$ , il nous faut:

- ▶ D'abord un effet fixe  $X_i \beta$ , avec prior classique pour le paramètre  $\beta$ .
- ▶ Ensuite  $U_i \approx \eta_i$  : un vecteur ligne de longueur  $k$  qui repère sur  $k$  *features* résumantes les caractéristiques essentielles de l'expérience  $i$ . Compte tenu du caractère unitaire de  $U$ , on va spécifier  $\eta_i$  comme une grandeur latente gaussienne indépendante de dimension  $k$ ,  $\eta_i \sim N(0, I_k)$ .
- ▶ Enfin  $\text{diag}(d_k^2) V \approx \Lambda^T$  :  $\Lambda$  est une matrice  $k \times p$ . Compte tenu du caractère unitaire de  $V$ , on sait que ses  $k$  colonnes sont de moins *lourdes* à cause du rangement des valeurs propres  $d_1 \geq d_2 \dots \geq d_k$ . Cette matrice  $\Lambda$  intervient de la même façon pour toutes les mesures  $i = 1 : n$ .  
Contrairement à  $\eta_i$ , ce n'est pas une variable latente, mais un *paramètre* (dont le prior reste à définir)!
- ▶ sans oublier le terme d'erreur classique  $\epsilon_i \sim N(0, \sigma^2)$ .

Finalement  $\mathbf{Y}$  est un modèle normal multivarié avec indépendance entre les lignes : La ligne  $i$  est multivariée normale

Q'avons nous construit? un *simple* LMM(M)?

$$\mathbf{Y}_{n \times p} = \mathbf{X}\beta + \eta_{n \times k} \Lambda^T + \epsilon_{n \times p}$$

$(p \times k)^T$

$$\epsilon_{i,j} \sim N(0, 1), \quad \eta_{i,l} \sim N(0, 1), \quad \epsilon_{i,j} \perp \eta_{i,l}$$

pour  $1 \leq i \leq n, 1 \leq j \leq p, 1 \leq l \leq k$

Soit en marginalisant:

$$\mathbf{Y}_i \sim \mathcal{N}_p(\mathbf{X}_i\beta, \Sigma)$$

$$\text{avec } \Sigma_{p \times p} = \Lambda \mathbb{E}(\eta' \eta) \Lambda^T + \text{diag}(\sigma_j^2) = \underset{(p \times k)(k \times p)}{\Lambda} \Lambda^T + \text{diag}(\sigma_j^2)$$

Reste à spécifier  $\Lambda$ , voir la big astuce de Batthacharya et Dunson

$$\Lambda^T \approx \begin{bmatrix} d_1^2 \times (v_1^1 & v_1^2 & \dots & v_1^p) \\ \vdots & \vdots & \vdots & \vdots \\ d_k^2 \times (v_k^1 & v_k^2 & \dots & v_k^p) \end{bmatrix}$$

## Quelles lois a priori pour une ACP Bayésienne?

$$\mathbf{Y}_i = \mathbf{X}_i\beta + \eta_i\Lambda^T + \epsilon_i$$

- ▶ **Variance** sur  $\text{diag}(\sigma_j^2)$ ,  $1 \leq j \leq p$  Inverse Gamma: **Standard**
- ▶ **Composantes Latentes** sur  $\eta_i$ ,  $1 \leq i \leq n$ : **Standard**  $\mathcal{N}_p(0, I_p)$
- ▶ **Loading priors** sur la matrice  $\Lambda$  pour traduire en probabilité :  
 $\lambda_{j,k} \approx d_l \times v_{j,l}$  avec  $d_1 \geq d_2 \geq \dots \geq d_k$   
– Imaginons  $k \rightarrow \infty$  : le prior sur  $\Lambda$  doit aider à forcer les colonnes de  $\Lambda$  à devenir de plus en plus *légères* avec leur rang, jusqu'à 0 pour la dimension inconnue théorique  $k$ .

The *multiplicative gamma process shrinkage prior* of Bhattacharya and Dunson (2011) allows for conjugate scheme and penalize high rank columns of  $\Lambda$ .

Bhattacharya, A. and Dunson, D. B.(2011), Sparse Bayesian Infinite Factor Models, *Biometrika*.

## Le processus multiplicatif gamma comme prior

- ▶ Idée: Pénaliser de plus en plus les colonnes de rangs élevés de la matrice  $p \times k \Lambda$  ;
  - Fixons pour  $1 \leq j \leq p$  et  $1 \leq h \leq q$ ,  $\phi_{j,h} \stackrel{\text{ind}}{\sim} \text{Gamma}\left(\frac{3}{2}, \frac{3}{2}\right)$ .
  - Pour  $1 \leq h \leq q$ ,  $\delta_h \stackrel{\text{ind}}{\sim} \text{Gamma}(\alpha, 1)$  de telle sorte que  $\alpha > 1$  (donc en espérance une progression  $\mathbb{E}[\delta_h] > 1$ );
  - Le prior suivant répond aux exigences:

$$\Lambda_{j,h} | \phi_{j,h}, \delta_{1:h} \stackrel{\text{ind}}{\sim} \mathcal{N}\left(0, \phi_{j,h}^{-1} \prod_{\ell=1}^h \delta_{\ell}^{-1}\right).$$

- ▶ Quand le rang  $h$  augmente, les dernières colonnes de la matrice  $\Lambda$  tendent à se contracter vers 0 (leur moyenne a priori) car la précision de la colonne  $h$  augmente (en probabilité) comme  $\prod_{\ell=1}^h \delta_{\ell}$ .
- ▶ Reste la loi a priori pour  $\alpha$ : Non informative, plus grande que 1.
- ▶ **Implementation** de l'inference bayésienne. MCMC: voir Hmsc le package R associé au livre d' Ovaskainen and Abrego (2020). Algorithme glouton. Facile à reprogrammer en Jags ou en Stan.

## Ecriture du modèle en Jags : juste quelques lignes

```
modelString = "  
model{  
a[1] <- 3; a[2] <- 3; deminu <- 3/2; a_sigma <- 3; b_sigma <- 2;  
  
#shrinkage prior  
          delta[1] ~ dgamma(a[1],1)  
for( h in 2:q){delta[h] ~ dgamma(a[2],1)}  
for( h in 1:q){ tau[h] <- prod(delta[1:h])}  
for( j in 1:p){ for( h in 1:q){ phi[j,h] ~ dgamma(deminu,deminu)  
          precilambda[j,h] <- phi[j,h]*tau[h]  
          lambda[j,h] ~ dnorm(0,precilambda[j,h])}}}  
for(i in 1:n){for (h in 1:q){eta[i,h] ~ dnorm(0,1)}}  
muY <- eta %*% t(lambda)  
for(j in 1:p){ preciE[j] ~ dgamma(a_sigma,b_sigma)  
          for (i in 1:n){Y[i,j] ~ dnorm(muY[i,j],preciE[j])}}}  
}"
```

## Lancer le code Jags

```
library(rjags); library(ggmcmc); Y=M
data_for_JAGS <- list( Y=Y, n = dim(Y)[1], p = dim(Y)[2], q = 5)
n.adapt = 300; burnin = 300; n.iter = burnin * 3; thin = 1
jm <- jags.model(file = textConnection(modelString),
  data = data_for_JAGS,
  n.chains = 3 ,
  n.adapt = n.adapt)
```

```
Compiling model graph
  Resolving undeclared variables
  Allocating nodes
Graph information:
  Observed stochastic nodes: 300
  Unobserved stochastic nodes: 300
  Total graph size: 1021

Initializing model
```

```
update(jm, burnin)
jsamples <- coda.samples(model = jm,
  variable.names = c("lambda", "preciE", "eta", "delta", "phi", "tau"),
  n.iter = n.iter,
  thin = thin)

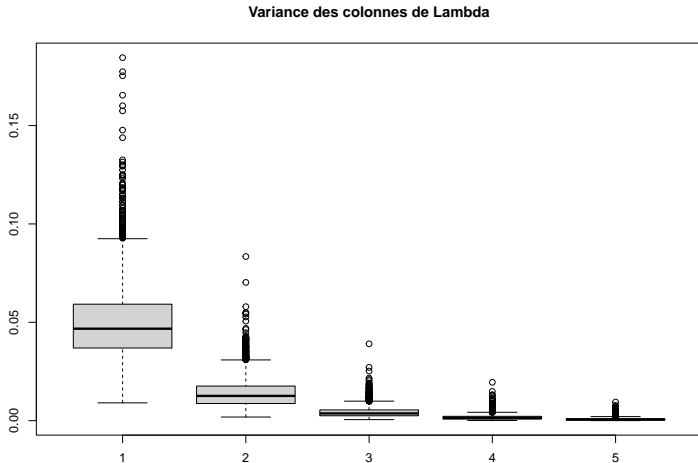
result_jags <- ggs(jsamples)
```

## Extraire les variables d'intérêt

```
library(tidyverse)
n_samples <- n.iter*3
Lambdas_jags <- filter(result_jags, str_detect(Parameter, "lambda")) %>%
  group_by(Chain, Iteration) %>%
  group_map(function(x, g){
    pull(x, value) %>%
      matrix(nrow = ncol(Y), byrow = TRUE)
  }) %>%
  {.[1:n_samples]}
Lambdas_jags_var <- Lambdas_jags %>%
  sapply(function(x) apply(x, 2, var)) %>%
  t()
```

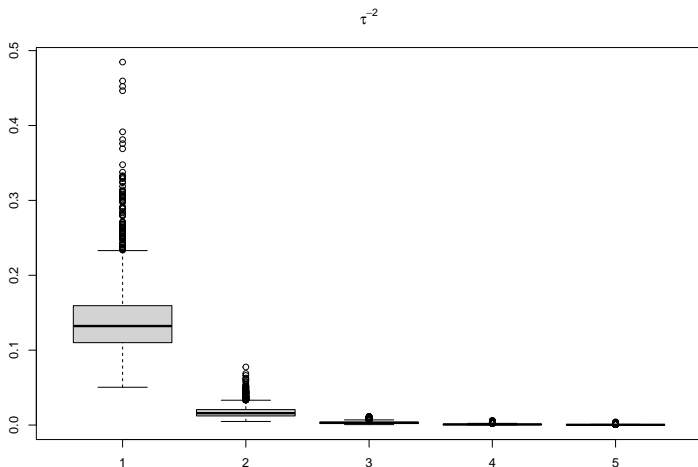
## Représenter les sorties

```
Lambdas_jags_var %>% boxplot()  
title(main = paste ("Variance des colonnes de", expression(Lambda)))
```



## Représenter les sorties

```
filter(result_jags, str_detect(Parameter, "tau")) %>%  
  group_by(Chain, Iteration) %>%  
  group_map(function(x, g){pull(x, value) }) %>%  
  {.[1:n_samples]} %>% sapply(function(x) 1/x) %>% t() %>% boxplot()  
title(main = expression(tau^-2))
```



# Conclusions

## Pratico-philosophique

- ▶ Quid de l'orthodoxie Bayésienne?
  - Est-ce vraiment une approche bayésienne? Pas d'élicitation, Pas de fonction de coût explicite, pas de décision formalisée
  - Oui mais utiliser le prior de Bhattacharya & Dunson's s'emboîte à la perfection dans le Lego land de l'inférence bayésienne de la modélisation hiérarchique et de l'inférence de type Gibbs.
  - A employer comme un module qui révèle automatiquement la dimension du modèle?
  - Chiquet, Mariadassou, and Robin (2018) proposent une autre approche pour construire  $\Lambda$ ...

## Les promesses pratiques de l'approche (Voir exposé de Pierre G.)

- ▶ Passage en variable latente pour des GLMs type  $Z = \mathcal{P}(e^Y)$ ;
- ▶ Passage à l'échelle  $n$  ou  $p$  grands: recours au *Variational* Bayes pour une inférence a posteriori type champ moyen. (cf Hoffman et al. (2013)) On peut continuer à tirer parti du caractère modulaire et conjugué.
- ▶ Améliorer le cout computationnel grâce à l'optimisation fonctionnelle (cf Kingma and Welling (2014)).
- ▶ Codes (à vos risques et périls!) see [https://github.com/papayoun/VI\\_fo\\_Poisson\\_PCA](https://github.com/papayoun/VI_fo_Poisson_PCA)

Ouf!

Merci pour votre intérêt!

## Shrinking prior + Variational Bayes = a game of LEGO bricks

Due to conditionnal independence the Evidence Lower Bound criterion can be decomposed as

$$\begin{aligned} \text{ELBO} = & \mathbb{E}_q [\log ([Y|Z])] \\ & + \mathbb{E}_q [\log ([Z|\eta, \Lambda, \Sigma, \beta])] \\ & + \mathbb{E}_q [\log ([\beta])] \\ & + \mathbb{E}_q [\log ([\Sigma])] \\ & + \mathbb{E}_q [\log ([\eta])] \\ & + \mathbb{E}_q [\log ([\Lambda|\delta, \phi])] \\ & + \mathbb{E}_q [\log ([\phi])] \\ & + \mathbb{E}_q [\log ([\delta])] \\ & - \mathbb{E}_q [\log q(Z, \Lambda, \Sigma, \eta, \phi, \delta, \beta)] \end{aligned}$$

⇒ Loop over local coordinate optimizations with latent  $\theta \in Z, \Lambda, \Sigma, \eta, \phi, \delta, \beta$ :

$$J(\theta) = (\mathbb{E}_q [\log ([\theta | \theta])] - \mathbb{E}_q [\log q(\theta)])$$

⇒ Coordinate Ascent Variational Inference algorithm

## Explicit conjugate results for most components

As an example consider updating  $\phi_{j,h}$

The terms implying  $\phi_{j,h}$  are the following:

$$\left(\frac{\nu}{2} + \frac{1}{2} - 1\right) \log \phi_{j,h} - \left(\frac{\nu}{2} + 0.5 \times \Lambda_{j,h}^2 \prod_{\ell=1}^h \delta_{\ell}\right) \phi_{j,h}.$$

Therefore, the updates of the Gamma distribution parameters are given by:

$$A^{\phi_{j,h}} = \frac{\nu}{2} + \frac{1}{2}$$
$$B^{\phi_{j,h}} = \frac{\nu}{2} + \frac{1}{2} \left( (M^{\Lambda_{j,h}})^2 + V_{h,h}^{\Lambda_j} \right) \prod_{\ell=1}^h \frac{A^{\delta_{\ell}}}{B^{\delta_{\ell}}}.$$

With the notable exception of  $q(Z)$

No closed form expression for updating  $Z \Rightarrow$  numerically maximising:

$$\mathbb{E}_{q_Z} [\log[Y|Z]] + \mathbb{E}_{q_Z} [\log[Z|\eta, \Lambda, \Sigma, \beta]] - \mathbb{E}_q [\log q_Z(Z)]$$

For CAVI algorithm, we take  $q_Z(Z) = \prod_{i,j} q_Z(Z_{i,j})$  in the normal family.

Up to constant terms (with regards to  $q(Z_{i,j})$ ), for each  $(i, j)$  maximise the partial ELBO function :

Denoting  $\mathbb{E}_q(Z_{i,j}) = M$  and  $\mathbb{V}ar_q(Z_{i,j}) = V$ :

$$Y_{i,j} M - e^{M + \frac{V}{2}} - 0.5 \frac{A^{\sigma_j}}{B^{\sigma_j}} M^2 - 0.5 \frac{A^{\sigma_j}}{B^{\sigma_j}} V + M \times \frac{A^{\sigma_j}}{B^{\sigma_j}} (M^{\eta_i} M^{\Lambda_j} + X_i M^{\beta_j}) + \frac{\log |V|}{2}$$

Straightforward **Implementation** through  $n \times p$  calls to the R *optim* subroutine

## References

- Bhattacharya, Anirban, and David B Dunson. 2011. "Sparse Bayesian Infinite Factor Models." *Biometrika*, 291–306.
- Chiquet, Julien, Mahendra Mariadassou, and Stéphane Robin. 2018. "Variational Inference for Probabilistic Poisson PCA." *The Annals of Applied Statistics* 12 (4): 2674–98.
- Hoffman, Matthew D, David M Blei, Chong Wang, and John Paisley. 2013. "Stochastic Variational Inference." *Journal of Machine Learning Research*.
- Kingma, Diederik P, and Max Welling. 2014. "Stochastic Gradient VB and the Variational Auto-Encoder." In *Second International Conference on Learning Representations, ICLR*, 19:121.
- Ovaskainen, Otso, and Nerea Abrego. 2020. *Joint Species Distribution Modelling: With Applications in R*. Cambridge University Press.